

## ОБРАЗОВАНИЕ $\Upsilon$ -МЕЗОНОВ В $pp$ -СТОЛКНОВЕНИЯХ ПРИ $\sqrt{s} = 7$ И 8 ТЭВ В ЭКСПЕРИМЕНТЕ LHCb

*А. Артамонов* \* от имени коллаборации LHCb  
Институт физики высоких энергий Национального исследовательского  
центра «Курчатовский институт», Протвино, Россия

Приводится краткое изложение результатов образования  $\Upsilon$ -мезонов в  $pp$ -столкновениях при энергиях  $\sqrt{s} = 7$  и 8 ТЭВ в эксперименте LHCb.

We briefly present the results of  $\Upsilon$  mesons production in  $pp$  collisions at  $\sqrt{s} = 7$  and 8 TeV in the LHCb experiment.

PACS: 13.60.Le; 14.40.Nd

### ВВЕДЕНИЕ

Исследования  $\Upsilon(1S)$ -,  $\Upsilon(2S)$ - и  $\Upsilon(3S)$ -мезонов\*\*, инклюзивно образованных в протон-протонных ( $pp$ ) столкновениях при энергиях  $\sqrt{s} = 2,76$ , 7 и 8 ТЭВ, уже проводились на четырех основных экспериментальных установках Большого адронного коллайдера — ALICE [1], ATLAS [2], CMS [3,4] и LHCb [5–7]\*\*\*. Для измерений, выполненных коллаборацией LHCb, использовались данные 2010 г. [6], набранные при  $\sqrt{s} = 7$  ТЭВ с интегральной светимостью 25 пб<sup>-1</sup>, а также неполные данные 2012 г. [7], набранные при  $\sqrt{s} = 8$  ТЭВ с интегральной светимостью 50 пб<sup>-1</sup>. В этих исследованиях были получены дважды дифференциальные сечения образования  $\Upsilon$ -мезонов, измеренные как функции быстроты и поперечного импульса соответствующего мезона. В обоих измерениях кинематические диапазоны быстроты и поперечного импульса  $\Upsilon$ -мезонов определялись интервалами  $2,0 < y < 4,5$  и  $p_T < 15$  ГэВ/с соответственно. В исследованиях LHCb был получен 30 %-й рост сечений образования  $\Upsilon$ -мезонов при переходе от  $\sqrt{s} = 7$  ТЭВ к 8 ТЭВ. Подобного роста сечений не наблюдалось у других кваркониев, например

---

\*E-mail: Alexander.Artamonov@ihep.ru

\*\*Все три состояния обобщенно обозначаются как  $\Upsilon$ .

\*\*\*Необходимо также отметить работы [8–11] для  $\Upsilon$ , образованных в  $pp$ -столкновениях, и работы [12–14] для  $\Upsilon$ , образованных в протон-ионных столкновениях.

у  $J/\psi$  [7, 15], а также не ожидалось в модельных предсказаниях нерелятивистской квантовой хромодинамики (КХД) [16]. Понимая важность полученных результатов, коллаборация LHCb приняла решение провести повторное измерение сечений образования  $\Upsilon$ -мезонов в  $pp$ -столкновениях при энергиях  $\sqrt{s} = 7$  и 8 ТЭВ, используя полную статистику экспериментальных данных, набранных в 2011 и 2012 гг. Объем анализируемых данных при  $\sqrt{s} = 7$  и 8 ТЭВ соответствует интегральным светимостям 1 и 2 фб<sup>-1</sup>. Это позволило получить результаты с улучшенной статистической точностью и уменьшенной систематической погрешностью.

### 1. ДЕТЕКТОР LHCb И ОТБОР $\Upsilon \rightarrow \mu^+ \mu^-$

Детектор LHCb является одноплечевым передним спектрометром, построенным для поиска непрямого проявления «новой» физики в процессах, нарушающих CP-симметрию, а также в редких распадах очарованных и прелестных частиц, т. е. частиц, содержащих  $c$ - и  $b$ -кварки соответственно. Детектор LHCb покрывает уникальный для LHC диапазон псевдобыстроты  $2 < y < 5$ , где сечение  $b\bar{b}$ -кварковой пары доминирует. Этот диапазон по псевдобыстроте соответствует примерно 4% телесного угла, в который попадают около 40% тяжелых кварков, образующихся в  $pp$ -столкновениях при  $\sqrt{s} = 7$  ТЭВ. Подробное описание детектора LHCb можно найти в [17, 18].

Моделирование  $pp$ -столкновений и последующее рождение  $\Upsilon$ -мезонов проводилось методом Монте-Карло на основе генератора PYTHIA 6 [19] с использованием конфигурационных настроек, приведенных в [20]. Распады частиц описывались пакетом программ EvtGen [21], а излучение частиц в конечном состоянии — программой Photos [22]. Взаимодействие частиц с детектором и саму работу детектора моделировал пакет программ GEANT 4 [23].

Отбор  $\Upsilon$ -мезонов проводился по аналогии с предыдущими анализами, выполненными коллаборацией LHCb [5–7]. Отбирались  $\Upsilon$ -мезоны, распадающиеся на димюонную пару  $\Upsilon \rightarrow \mu^+ \mu^-$  и попадающие в кинематический диапазон  $p_T < 30$  ГэВ/с и  $2,0 < y < 4,5$ . Требовалось, чтобы было обеспечено хорошее качество реконструированного трека, хорошее качество мюонной идентификации и хорошее качество фита димюонной вершины. В последнем требовании дополнительно накладывалось условие, чтобы димюонная вершина происходила из первичной вершины  $pp$ -столкновений. Более подробное описание критериев отбора  $\Upsilon$ -мезонов приведено в [24], где также отмечены небольшие модификации в отборе, сделанные для улучшения отношения  $\Upsilon$ -сигналов к фону.

Дважды дифференциальные сечения образований  $\Upsilon$ -мезонов, распадающихся на димюонную пару, определялись по следующей формуле:

$$B_{\Upsilon} \frac{d^2}{dp_T dy} \sigma(pp \rightarrow \Upsilon X) \equiv \frac{1}{\Delta p_T \Delta y} \sigma_{\text{bin}}^{\Upsilon \rightarrow \mu^+ \mu^-} = \frac{1}{\Delta p_T \Delta y} \frac{N_{\Upsilon \rightarrow \mu^+ \mu^-}}{\mathcal{L}}, \quad (1)$$

где  $\mathcal{B}_\Upsilon$  — относительная вероятность распада  $\Upsilon$ -мезона на два мюона;  $dy$  и  $dp_T$  — ширины бинов по быстрой и поперечному импульсу соответственно;  $\sigma_{\text{bin}}^{\Upsilon \rightarrow \mu^+ \mu^-}$  — сечение образования  $\Upsilon$ -мезона, распадающегося на димюонную пару, для одного из бинов  $(p_T, y)$ ;  $N_{\Upsilon \rightarrow \mu^+ \mu^-}$  — поправленное на эффективность количество отобранных кандидатов  $\Upsilon \rightarrow \mu^+ \mu^-$  в рассматриваемом бине  $(p_T, y)$ ;  $\mathcal{L}$  — интегральная светимость. Поскольку неопределенность величины  $\mathcal{B}_\Upsilon$  значительна для  $\Upsilon(2S)$  и  $\Upsilon(3S)$ , формула (1) определяет сечения образований  $\Upsilon$ -мезонов, распадающихся на два мюона, по аналогии с предыдущими анализами LHCb.

В формуле (1) величина  $N_{\Upsilon \rightarrow \mu^+ \mu^-}$  определялась для каждого бина  $(p_T, y)$  фитированием димюонного спектра отобранных кандидатов с использованием безбинового расширенного метода максимального правдоподобия. При таком фитировании каждому димюонному кандидату приписывался вес, вычислен-

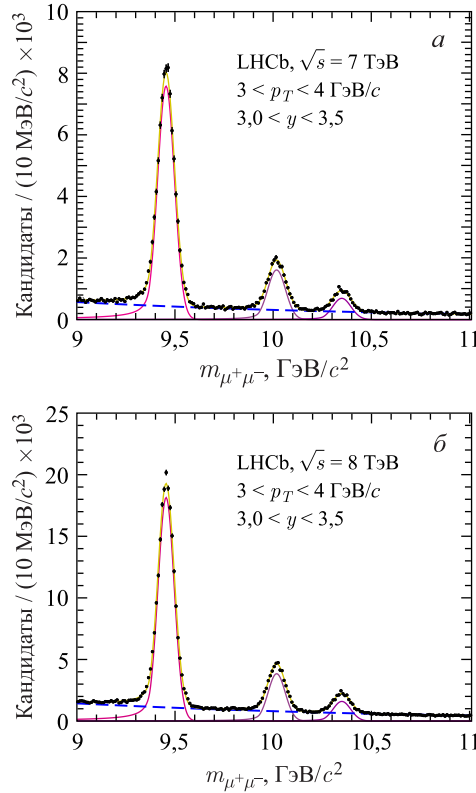


Рис. 1. Поправленные на эффективность спектры эффективных масс димюонной пары для отобранных кандидатов  $\Upsilon \rightarrow \mu^+ \mu^-$

ный как  $1/\varepsilon^{\text{tot}}$ , где  $\varepsilon^{\text{tot}}$  — полная эффективность, которая определялась для каждого кандидата  $\Upsilon \rightarrow \mu^+\mu^-$  по формуле

$$\varepsilon^{\text{tot}} = \varepsilon^{\text{rec\&sel}} \varepsilon^{\text{trg}} \varepsilon^{\mu\text{ID}}, \quad (2)$$

в которой  $\varepsilon^{\text{rec\&sel}}$  — эффективность, включающая в себя эффективность процедур реконструкции и отбора;  $\varepsilon^{\text{trg}}$  — триггерная эффективность;  $\varepsilon^{\mu\text{ID}}$  — эффективность, связанная с мюонной идентификацией. Эффективности  $\varepsilon^{\text{rec\&sel}}$  и  $\varepsilon^{\text{trg}}$  определялись методом Монте-Карло и корректировались поправками, определенными из экспериментальных данных. Эффективность  $\varepsilon^{\mu\text{ID}}$  полностью определялась из экспериментальных данных с использованием большого объема данных распада  $J/\psi \rightarrow \mu^+\mu^-$  с относительно малым фоном. Среднее значение эффективности  $\langle \varepsilon^{\text{tot}} \rangle$  достигало своего максимального значения 45% в области ( $15 < p_T < 20$  ГэВ/с,  $3,0 < y < 3,5$ ), минимального значения 10% — при больших  $p_T$  и больших  $y$ . Во всем исследуемом диапазоне,  $p_T < 30$  ГэВ/с и  $2,0 < y < 4,5$ , среднее значение  $\langle \varepsilon^{\text{tot}} \rangle$  составило около 30%.

На рис. 1 показаны поправленные на эффективность спектры эффективных масс димюонной пары для отобранных кандидатов  $\Upsilon \rightarrow \mu^+\mu^-$  в области ( $3 < p_T < 4$  ГэВ/с,  $3,0 < y < 3,5$ ) для  $\sqrt{s} = 7$  ТэВ (рис. 1, а) и  $\sqrt{s} = 8$  ТэВ (рис. 1, б). На рис. 1 также показаны параметризации димюонных спектров, представляющие собой сумму четырех функций: первые три функции — это функции Crystal Ball, предназначенные для описания трех сигналов  $\Upsilon(1S)$ ,  $\Upsilon(2S)$  и  $\Upsilon(3S)$ , а четвертая функция — экспоненциальная, умноженная на полином второго порядка и предназначенная для описания фона. Из рис. 1 видно, насколько чисто по отношению к фону выделяются  $\Upsilon$ -мезоны и насколько хорошо они отличаются друг от друга. Массовое разрешение для  $\Upsilon(1S)$  в среднем составило около 42 МэВ/с<sup>2</sup>, изменяясь при этом от 33 МэВ/с<sup>2</sup> (для малых  $p_T$  и малых  $y$ ) до 90 МэВ/с<sup>2</sup> (для больших  $p_T$  и больших  $y$ ).

## 2. РЕЗУЛЬТАТЫ

Из-за форматных ограничений данной статьи мы не будем останавливаться на рассмотрении дважды дифференциальных сечений (1). Они подробно представлены в работе [24].

На рис. 2 показаны измеренные дифференциальные сечения (1), проинтегрированные по быстрой в интервале  $2,0 < y < 4,5$ , как функции поперечного импульса для  $\Upsilon(1S)$ -мезонов (кружки),  $\Upsilon(2S)$ -мезонов (квадраты) и для  $\Upsilon(3S)$ -мезонов (ромбы), а также параметризации полученных дифференциальных сечений, использующие функцию Цаллиса, определяемую как

$$\frac{d\sigma}{p_T dp_T} \propto \left( 1 + \frac{E_T^{\text{kin}}}{nT} \right)^{-n}, \quad (3)$$

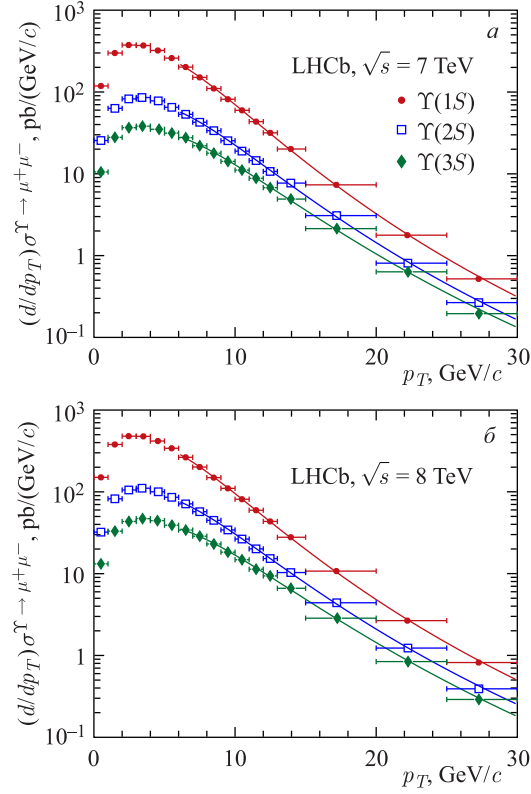
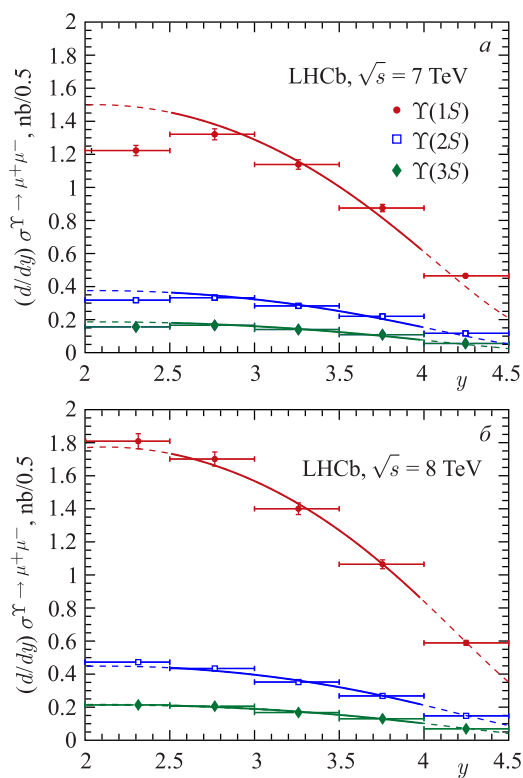


Рис. 2. Дифференциальные сечения  $(d/dp_T)\sigma^{\Upsilon \rightarrow \mu^+\mu^-}$  в интервале  $2,0 < y < 4,5$  для мезонов  $\Upsilon(1S)$ ,  $\Upsilon(2S)$  и  $\Upsilon(3S)$

где  $E_T^{\text{kin}} \equiv \sqrt{m_\Upsilon^2 + p_T^2} - m_\Upsilon$  — поперечная кинетическая энергия;  $m_\Upsilon$  — известная масса  $\Upsilon$ -мезона [25];  $T$  — так называемый температурный параметр, а  $n$  — степенной параметр. В параметризации (3) два свободных параметра для фитирования — это параметры  $n$  и  $T$ . Одной из особенностей функции Цаллиса является то, что при больших  $p_T$  она ведет себя асимптотически как  $\propto p_T^{-n}$ , что ожидается для жестких процессов рассеяния. Фитирование дифференциальных сечений проводилось с помощью функции Цаллиса в интервале  $6 < p_T < 30$  ГэВ/с. Качество фитирования было хорошим для всех случаев. В табл. 1 представлены значения параметров  $n$  и  $T$ , полученные после фитирования дифференциальных сечений. Из этой таблицы видно, что параметр  $n$  близок к 8 во всех случаях, что совместимо с асимптотическим поведением  $p_T$ -распределений кваркониев в рамках модели цветных синглетов [26–30]. Что касается температурного параметра  $T$ , то он показывает небольшую зависимость от  $\sqrt{s}$  и от массы  $\Upsilon$ -состояния.

Таблица 1. Значения параметров  $n$  и  $T$ , полученные после фитирования дифференциальных сечений функцией Цаллиса (3) в интервале  $6 < p_T < 30$  ГэВ/с

Мезон	$\sqrt{s}$ , ТэВ	$T$ , ГэВ	$n$
$\Upsilon(1S)$	7	$1,19 \pm 0,04$	$8,01 \pm 0,33$
	8	$1,20 \pm 0,04$	$7,71 \pm 0,27$
$\Upsilon(2S)$	7	$1,33 \pm 0,05$	$7,57 \pm 0,41$
	8	$1,37 \pm 0,05$	$7,53 \pm 0,34$
$\Upsilon(3S)$	7	$1,53 \pm 0,07$	$7,85 \pm 0,56$
	8	$1,63 \pm 0,06$	$8,23 \pm 0,51$


 Рис. 3. Дифференциальные сечения  $(d/dy)\sigma^{\Upsilon \rightarrow \mu^+\mu^-}$  в интервале  $p_T < 30$  ГэВ/с для мезонов  $\Upsilon(1S)$ ,  $\Upsilon(2S)$  и  $\Upsilon(3S)$ 

На рис. 3 показаны измеренные дифференциальные сечения (1), проинтегрированные по поперечному импульсу в интервале  $p_T < 30$  ГэВ/с, как функции быстроты для  $\Upsilon(1S)$ -мезонов (кружки),  $\Upsilon(2S)$ -мезонов (квадраты) и для  $\Upsilon(3S)$ -мезонов (ромбы). На рис. 3 изображены также кривые, полученные

после фитирования соответствующих дифференциальных сечений. Функция, параметризующая эти распределения, определялась согласно модели цветowych октетов [31, 32], которая предсказывала только форму распределений по быстрой в диапазоне  $2,5 < y < 4,0$ . Пунктирные части кривых — это экстраполяции офитированных функций на исследуемый интервал по быстрой  $2,0 < y < 4,5$ . Качество фитирования распределений на рис. 3 было хорошим для всех случаев.

Значения сечений (1), проинтегрированных в исследованном кинематическом диапазоне  $2,0 < y < 4,5$  и  $p_T < 30$  ГэВ/с при энергиях  $\sqrt{s} = 7$  ТэВ и 8 ТэВ представлены в табл. 2. В этой и последующих таблицах первая неопределенность является статистической, а вторая — систематической\*. В табл. 2 также представлены интегральные сечения, полученные в интервале  $p_T < 15$  ГэВ/с для сравнения новых измерений с предыдущими измерениями на LHCb [6, 7].

Таблица 2. Интегральные сечения  $\sigma^{\Upsilon \rightarrow \mu^+ \mu^-}$  (в пб), измеренные в полном,  $p_T < 30$  ГэВ/с, и сокращенном,  $p_T < 15$  ГэВ/с, кинематических диапазонах для  $2,0 < y < 4,5$

Сечение	$p_T < 30$ ГэВ/с		$p_T < 15$ ГэВ/с	
	$\sqrt{s} = 7$ ТэВ	$\sqrt{s} = 8$ ТэВ	$\sqrt{s} = 7$ ТэВ	$\sqrt{s} = 8$ ТэВ
$\sigma^{\Upsilon(1S) \rightarrow \mu^+ \mu^-}$	$2510 \pm 3 \pm 80$	$3280 \pm 3 \pm 100$	$2460 \pm 3 \pm 80$	$3210 \pm 3 \pm 90$
$\sigma^{\Upsilon(2S) \rightarrow \mu^+ \mu^-}$	$635 \pm 2 \pm 20$	$837 \pm 2 \pm 25$	$614 \pm 2 \pm 20$	$807 \pm 2 \pm 24$
$\sigma^{\Upsilon(3S) \rightarrow \mu^+ \mu^-}$	$313 \pm 2 \pm 10$	$393 \pm 1 \pm 12$	$298 \pm 1 \pm 10$	$373 \pm 1 \pm 11$

В дальнейшем мы будем рассматривать эволюцию сечений  $\sigma_{\text{bin}}^{\Upsilon \rightarrow \mu^+ \mu^-}$ , определенных в (1), как функцию полной энергии сталкивающихся протонов с помощью следующей величины:

$$\mathcal{R}_{8/7} \equiv \frac{\sigma_{\text{bin}}^{\Upsilon \rightarrow \mu^+ \mu^-} \big|_{\sqrt{s}=8 \text{ ТэВ}}}{\sigma_{\text{bin}}^{\Upsilon \rightarrow \mu^+ \mu^-} \big|_{\sqrt{s}=7 \text{ ТэВ}}}, \quad (4)$$

которая представляет собой отношение сечений, измеренных при  $\sqrt{s} = 8$  ТэВ и 7 ТэВ. Отношения интегральных сечений  $\mathcal{R}_{8/7}$  приведены в табл. 3. Для сравнения с предыдущими результатами LHCb интегральные значения сечений определялись для  $p_T < 15$  ГэВ/с и  $p_T < 30$  ГэВ/с. Новые результаты, полученные в интервале  $p_T < 15$  ГэВ/с, находятся в хорошем согласии с результатами предыдущих измерений на LHCb, подтверждая 30 %-й рост сечений образований боттомониев при переходе от  $\sqrt{s} = 7$  ТэВ к  $\sqrt{s} = 8$  ТэВ.

\*Источники систематической неопределенности подробно обсуждаются в работе [24].

Таблица 3. Отношения интегральных сечений  $\mathcal{R}_{8/7}$ , определенные в полном,  $p_T < 30$  ГэВ/с, и сокращенном,  $p_T < 15$  ГэВ/с, кинематических диапазонах для  $2,0 < y < 4,5$

Мезон	$p_T < 30$ ГэВ/с	$p_T < 15$ ГэВ/с
$\Upsilon(1S)$	$1,307 \pm 0,002 \pm 0,025$	$1,304 \pm 0,002 \pm 0,024$
$\Upsilon(2S)$	$1,319 \pm 0,005 \pm 0,025$	$1,315 \pm 0,005 \pm 0,024$
$\Upsilon(3S)$	$1,258 \pm 0,007 \pm 0,024$	$1,254 \pm 0,007 \pm 0,023$

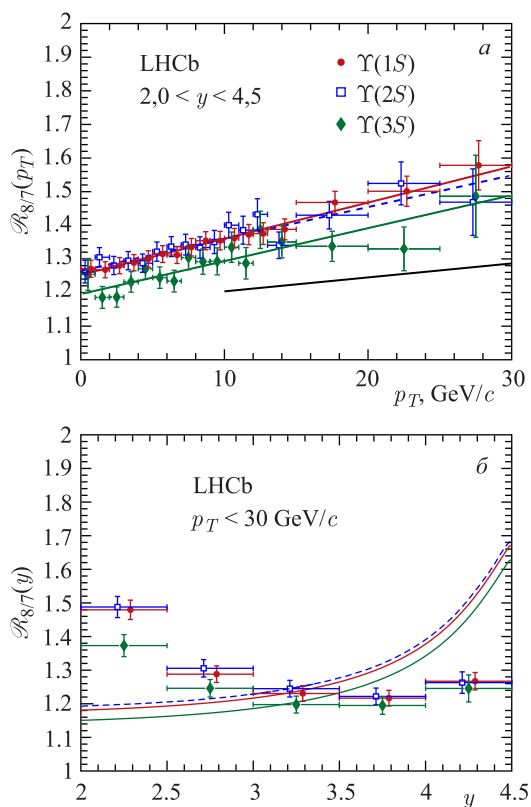


Рис. 4. Отношения дифференциальных сечений  $\mathcal{R}_{8/7}$  для  $\Upsilon$ -мезонов, определенные как функции  $p_T$  (а) и как функции  $y$  (б)

На рис. 4, а показано отношение  $\mathcal{R}_{8/7}$ , представленное как функция поперечного импульса  $\Upsilon$ -мезона, полученное после интегрирования в интервале  $2,0 < y < 4,5$ . Видно, что  $\Upsilon$ -мезоны, рожденные при  $\sqrt{s} = 8$  ТэВ, являются более жесткими, чем эти же мезоны, рожденные при  $\sqrt{s} = 7$  ТэВ. Отношения  $\mathcal{R}_{8/7}$  как функции  $p_T$  фитировались с помощью линейной функции. По-

сле фитирования получились следующие значения наклонов\* для линейных функций:  $10,8 \pm 0,6$  для  $\Upsilon(1S)$ ,  $9,5 \pm 1,2$  для  $\Upsilon(2S)$  и  $9,8 \pm 1,6$  для  $\Upsilon(3S)$ . Полученные линейные функции сравниваются с предсказаниями нерелятивистской КХД-модели [16] (толстая сплошная линия для всех  $\Upsilon$ -мезонов), которые были посчитаны в приближении NLO для исследуемого интервала по быстрой  $2,0 < y < 4,5$ . Видно, что предсказания нерелятивистской КХД-модели не различаются для разных  $\Upsilon$ -мезонов. Также видно, что наклон теоретического предсказания меньше экспериментально измеренных.

Отношение  $\mathcal{R}_{8/7}$ , проинтегрированное на интервале  $p_T < 30$  ГэВ/с, представлено как функция быстроты на рис. 4, б. Это отношение сравнивается с теоретическим предсказанием, сделанным в рамках уже упоминавшейся выше модели цветных октетов [31, 32]. Из рассматриваемого рисунка видно, что наблюдаемое в экспериментальных данных поведение отношения  $\mathcal{R}_{8/7}$  как функция быстроты не совпадает с поведением, предсказанным моделью цветных октетов. Необходимо отметить, что подобное поведение дифференциальных сечений — более значительный рост сечений с ростом  $\sqrt{s}$  для малых значений быстрот, чем для больших значений быстрот — также наблюдается в образовании адронов с открытой прелестью [33]. Теоретические же расчеты модели FONLL [34–36] предсказывают обратное поведение — подобное модели цветных октетов, изображенное на рис. 4, б.

Большая часть теоретических и экспериментальных неопределенностей исчезает, если рассматривать отношение дифференциальных сечений (1), измеренных для разных  $\Upsilon$ -мезонов, но для одной и той же энергии,

$$\mathcal{R}_{i,j} \equiv \frac{\sigma_{\text{bin}}^{\Upsilon(iS) \rightarrow \mu^+ \mu^-}}{\sigma_{\text{bin}}^{\Upsilon(jS) \rightarrow \mu^+ \mu^-}} = \frac{N_{\Upsilon(iS) \rightarrow \mu^+ \mu^-}}{N_{\Upsilon(jS) \rightarrow \mu^+ \mu^-}}. \quad (5)$$

В табл. 4 представлены отношения интегральных сечений  $\mathcal{R}_{i,j}$ , измеренные для  $p_T < 15$  ГэВ/с и  $p_T < 30$  ГэВ/с при  $\sqrt{s} = 7$  и 8 ТэВ. Все измеренные значения  $\mathcal{R}_{i,j}$  согласуются с предыдущими измерениями LHCb. Измеренное значение  $\mathcal{R}_{2,1}$  находится в хорошем согласии с оценкой модели цветных октетов 0,27 [31, 32], тогда как измеренное значение  $\mathcal{R}_{3,1}$  значительно превосходит ожидаемое модельное предсказание 0,04 [31, 32]. Однако в рамках модели цветных октетов для отношения  $\mathcal{R}_{3,1}$  предсказывается диапазон 0,14–0,22, близкий к экспериментально измеренному значению, если состояние  $\Upsilon(3S)$  является смешанным гибридным кваркониевым состоянием [32]. Более подробное рассмотрение результатов образования  $\Upsilon$ -мезонов в  $pp$ -столкновениях при энергиях  $\sqrt{s} = 7$  и 8 ТэВ в эксперименте LHCb можно найти в работе [24].

\*Единица измерения наклонов  $10^{-3}/(\text{ГэВ}/c)$ .

Таблица 4. Отношения интегральных сечений  $\mathcal{R}_{i,j}$ , определенные в полном,  $p_T < 30$  ГэВ/с, и сокращенном,  $p_T < 15$  ГэВ/с, кинематических диапазонах для  $2,0 < y < 4,5$

Сечение	$\sqrt{s} = 7$ ТэВ	$\sqrt{s} = 8$ ТэВ
$p_T < 30$ ГэВ/с		
$\mathcal{R}_{2,1}$	$0,253 \pm 0,001 \pm 0,004$	$0,255 \pm 0,001 \pm 0,004$
$\mathcal{R}_{3,1}$	$0,125 \pm 0,001 \pm 0,002$	$0,120 \pm 0,000 \pm 0,002$
$\mathcal{R}_{3,2}$	$0,493 \pm 0,003 \pm 0,007$	$0,470 \pm 0,002 \pm 0,007$
$p_T < 15$ ГэВ/с		
$\mathcal{R}_{2,1}$	$0,249 \pm 0,001 \pm 0,004$	$0,251 \pm 0,001 \pm 0,004$
$\mathcal{R}_{3,1}$	$0,121 \pm 0,001 \pm 0,002$	$0,116 \pm 0,000 \pm 0,002$
$\mathcal{R}_{3,2}$	$0,485 \pm 0,003 \pm 0,007$	$0,463 \pm 0,002 \pm 0,007$

В заключение хочется выразить искреннюю благодарность И. М. Беляеву, В. Ю. Егорычеву, Дж. Манке и В. И. Романовскому за плодотворное сотрудничество, В. Ф. Образцову за поддержку и интерес к работе, а также всем организаторам Международной сессии-конференции СЯФ ОФН РАН, проведенной в г. Дубне в честь 60-летия ОИЯИ.

#### СПИСОК ЛИТЕРАТУРЫ

1. Abelev B. B. et al. (ALICE Collab.) // Eur. Phys. J. C. 2014. V. 74. P. 2974.
2. Aad G. et al. (ATLAS Collab.) // Phys. Rev. D. 2013. V. 87. P. 052004.
3. Khachatryan V. et al. (CMS Collab.) // Phys. Rev. D. 2011. V. 83. P. 112004.
4. Chatrchyan S. et al. (CMS Collab.) // Phys. Lett. B. 2013. V. 727. P. 101.
5. Aaij R. et al. (LHCb Collab.) // Eur. Phys. J. C. 2014. V. 74. P. 2835.
6. Aaij R. et al. (LHCb Collab.) // Eur. Phys. J. C. 2012. V. 72. P. 2025.
7. Aaij R. et al. (LHCb Collab.) // JHEP. 2013. V. 06. P. 064.
8. Aaij R. et al. (LHCb Collab.) // JHEP. 2012. V. 11. P. 031.
9. Manca G. // Intern. J. Mod. Phys. A. 2014. V. 29. P. 1430014.
10. Aaij R. et al. (LHCb Collab.). arXiv:1510.05949.
11. Belyaev I. M., Egorychev V. Yu. // Phys. At. Nucl. 2015. V. 78. P. 977 (Yad. Fiz. 2015. V. 78. P. 1036).
12. Aaij R. et al. (LHCb Collab.) // JHEP. 2014. V. 07. P. 094.
13. The ALICE and LHCb Collabs. CERN-LHCb-CONF-2014-003, ALICE-PUBLIC-2014-002.
14. Yang Z. // Nucl. Phys. A. 2014. V. 931. P. 643.

15. *Aaij R. et al. (LHCb Collab.) // Eur. Phys. J. C. 2011. V. 71. P. 1645.*
16. *Han H. et al. arXiv:1410.8537.*
17. *Alves A.A., Jr., et al. (LHCb Collab.) // JINST. 2008. V. 3. P. S08005.*
18. *Aaij R. et al. (LHCb Collab.) // Intern. J. Mod. Phys. A. 2015. V. 30. P. 1530022.*
19. *Sjöstrand T. et al. // JHEP. 2006. V. 05. P. 026.*
20. *Belyaev I. et al. // J. Phys. Conf. Ser. 2011. V. 331. P. 032047.*
21. *Lange D.J. // Nucl. Instr. Meth. A. 2001. V. 462. P. 152.*
22. *Golonka P., Was Z. // Eur. Phys. J. C. 2006. V. 45. P. 97.*
23. *Allison J. et al. (Geant4 Collab.) // IEEE Trans. Nucl. Sci. 2006. V. 53. P. 270;*  
*Agostinelli S. et al. (Geant4 Collab.) // Nucl. Instr. Meth. A. 2003. V. 506. P. 250.*
24. *Aaij R. et al. (LHCb Collab.) // JHEP. 2015. V. 1511. P. 103.*
25. *Olive K.A. et al. (Particle Data Group) // Chin. Phys. C. 2014. V. 38. P. 090001.*
26. *Kartvelishvili V.G., Likhoded A.K., Slabospitsky S.R. // Sov. J. Nucl. Phys. 1978.*  
*V. 28. P. 8 (Yad. Fiz. 1978. V. 28. P. 1315).*
27. *Berger E.L., Jones D. // Phys. Rev. D. 1981. V. 23. P. 1521.*
28. *Baier R., Rückl R. // Phys. Lett. B. 1981. V. 102. P. 364.*
29. *Chang C.-H. // Nucl. Phys. B. 1980. V. 172. P. 425.*
30. *Baier R., Rückl R. // Z. Phys. C. 1983. V. 19. P. 251.*
31. *Kisslinger L.S., Das D. // Mod. Phys. Lett. A. 2013. V. 28. P. 1350120.*
32. *Kisslinger L.S., Das D. // Mod. Phys. Lett. A. 2014. V. 29. P. 1450082.*
33. *Aaij R. et al. (LHCb Collab.) // Chin. Phys. C. 2016. V. 40. P. 011001.*
34. *Cacciari M., Greco M., Nason P. // JHEP. 1998. V. 05. P. 007.*
35. *Cacciari M., Frixione S., Nason P. // JHEP. 2001. V. 03. P. 006.*
36. *Cacciari M. et al. // JHEP. 2012. V. 10. P. 137.*